

УДК 531.384

**ОБ УСТОЙЧИВОСТИ ВРАЩЕНИЯ ВОЛЧКА
С ПОЛОСТЬЮ, НАПОЛНЕННОЙ ЖИДКОСТЬЮ**

МАРКЕЕВ А. П.

Задачи о движении твердого тела с полостями, содержащими жидкость, исследовались еще во второй половине прошлого века. Важнейшие результаты, история вопроса и подробная библиография содержатся в [1] и монографиях [2, 3]. В публикуемой работе исследуется устойчивость движения твердого тела, содержащего эллипсоидальную полость, целиком заполненную однородной несжимаемой идеальной жидкостью, совершающей однородное вихревое или потенциальное движение. Предполагается, что твердое тело (оболочка) динамически и геометрически симметрично, а движение происходит на неподвижной горизонтальной плоскости. Рассмотрены случаи абсолютно гладкой и абсолютно шероховатой плоскости. Получены условия устойчивости вращения тела вокруг расположенной вертикально оси симметрии. Рассмотрен случай тонкой невесомой оболочки. Наиболее полное исследование аналогичной задачи для движения тела вокруг неподвижной точки содержится в [4, гл. 4].

1. Рассмотрим тяжелое твердое тело, движущееся по неподвижной горизонтальной плоскости, касаясь ее одной точкой выпуклой поверхности. Тело имеет эллипсоидальную полость, целиком заполненную однородной несжимаемой идеальной жидкостью. Пусть $Gx_1x_2x_3$ — система координат, образованная главными центральными осями инерции тела (оболочки). Поверхность полости в этой системе координат имеет уравнение

$$x_1^2/a_1^2 + x_2^2/a_2^2 + x_3^2/a_3^2 = 1 \quad (a_i = \text{const}) \quad (1.1)$$

Оси Gx_i ($i=1, 2, 3$) будут главными центральными осями инерции и для системы твердое тело — жидкость.

Если в какой-либо момент времени движение жидкости в полости было потенциальным или однородным вихревым, то оно всегда остается таким [2]. Будем рассматривать только эти простейшие движения жидкости; они могут быть охарактеризованы конечным числом переменных.

Направленный вертикально вверх единичный вектор γ и радиус-вектор точки касания тела и плоскости относительно центра тяжести задаются в системе координат $Gx_1x_2x_3$ компонентами $\gamma_1, \gamma_2, \gamma_3$ и x_1, x_2, x_3 соответственно. Уравнение поверхности тела

$$f(x_1, x_2, x_3) = 0 \quad (1.2)$$

выберем так, чтобы

$$\gamma = -\text{grad } f / |\text{grad } f| \quad (1.3)$$

Пусть движение жидкости однородное вихревое. Уравнения движения системы тело — жидкость, полученные из уравнения Гельмгольца и теоремы об изменении кинетического момента, имеют вид [2]

$$\frac{d\Omega_1}{dt} = 2a_1^2 \left(\frac{\omega_3\Omega_2}{a_1^2 + a_2^2} - \frac{\omega_2\Omega_3}{a_3^2 + a_1^2} \right) - 2 \frac{a_1^2(a_3^2 - a_2^2)}{(a_1^2 + a_2^2)(a_1^2 + a_3^2)} \Omega_2\Omega_3 \quad (1.4)$$

$$A_{*1} \frac{d\omega_1}{dt} + A_1' \frac{d\Omega_1}{dt} + (A_{*3} - A_{*2}) \omega_2\omega_3 + A_3' \omega_2\Omega_3 - A_2' \omega_3\Omega_2 = M_1 \quad \{1 \ 2 \ 3\} \quad (1.5)$$

К каждому из уравнений (1.4), (1.5) надо добавить еще по два уравнения, получающихся из (1.4) и (1.5) круговой перестановкой индексов, указанных в фигурной скобке. В (1.4), (1.5) через ω_i , Ω_i , M_i ($i=1, 2, 3$) обозначены проекции на ось Gx_i , соответственно, вектора угловой скорости тела, уменьшенного в два раза вихря скорости жидкости, момента реакции плоскости относительно центра тяжести. Через A_{*i} и A_i' в (1.5) обозначены соответственно момент инерции преобразованного тела и разность моментов инерции жидкости и эквивалентного тела относительно оси Gx_i . Если через A_i и A_i^* обозначить моменты инерции относительно оси Gx_i твердого тела (оболочки) и эквивалентного тела, а через m_2 — массу жидкости, то $A_{*i} = A_i + A_i^*$:

$$A_{1*} = \frac{m_2(a_2^2 - a_3^2)^2}{5(a_2^2 + a_3^2)}, \quad A_1' = \frac{4m_2 a_2^2 a_3^2}{5(a_2^2 + a_3^2)} \quad \{1\ 2\ 3\}$$

Компоненты вектора γ удовлетворяют уравнениям Пуассона

$$\dot{\gamma}_1 = \omega_3 \gamma_2 - \omega_2 \gamma_3 \quad \{1\ 2\ 3\} \quad (1.6)$$

Пусть $m = m_1 + m_2$ — сумма масс тела и жидкости, g — ускорение свободного падения, v_i , R_i — проекции на ось Gx_i вектора скорости центра тяжести и реакции плоскости R . Тогда из теоремы о движении центра инерции имеем уравнения

$$m(v_1 + \omega_2 v_3 - \omega_3 v_2) = -mg\gamma_1 + R_1 \quad \{1\ 2\ 3\} \quad (1.7)$$

В дальнейшем будем рассматривать случаи абсолютно гладкой и абсолютно шероховатой плоскостей. Если плоскость абсолютно гладкая, то

$$R = N\gamma \quad (1.8)$$

и проекция центра тяжести на горизонтальную плоскость движется равномерно и прямолинейно. Без ограничения общности предполагаем ее неподвижной, т. е. считаем, что центр тяжести движется по вертикали.

В случае абсолютно шероховатой плоскости движение происходит без скольжения, что приводит к равенствам

$$v_1 + \omega_3 x_2 - \omega_2 x_3 = 0 \quad \{1\ 2\ 3\} \quad (1.9)$$

Реакция плоскости в этом случае не имеет заранее заданного направления и может быть найдена из (1.7).

Уравнения (1.4) — (1.7) с учетом соотношений (1.1) — (1.3), а также равенств (1.8) или (1.9) образуют замкнутую систему уравнений, описывающую движение твердого тела с эллипсоидальной полостью, заполненной жидкостью, совершающей однородное вихревое движение. В случае потенциального движения жидкости в (1.4) и (1.5) следует положить $\Omega_i = 0$ ($i=1, 2, 3$).

Как в случае абсолютно гладкой, так и в случае абсолютно шероховатой плоскости существует интеграл энергии

$$\begin{aligned} & \frac{1}{2} m v_G^2 + \frac{1}{2} (A_{*1} \omega_1^2 + A_{*2} \omega_2^2 + A_{*3} \omega_3^2) + \\ & + \frac{1}{2} (A_1' \Omega_1^2 + A_2' \Omega_2^2 + A_3' \Omega_3^2) + mg\zeta = \text{const} \end{aligned} \quad (1.10)$$

где v_G и ζ — соответственно скорость и высота центра тяжести над плоскостью

$$\zeta = -(x_1 \gamma_1 + x_2 \gamma_2 + x_3 \gamma_3) \quad (1.11)$$

и интеграл

$$a_2^2 a_3^2 \Omega_1^2 + a_3^2 a_1^2 \Omega_2^2 + a_1^2 a_2^2 \Omega_3^2 = \text{const} \quad (1.12)$$

который указывает на постоянство интенсивности вихря (теорема Гельмгольца). Существует также геометрический интеграл

$$\gamma_1^2 + \gamma_2^2 + \gamma_3^2 = 1 \quad (1.13)$$

В случае абсолютно гладкой плоскости интегралом будет проекция кинетического момента на вертикаль

$$(A_{*1}\omega_1 + A_1'\Omega_1)\gamma_1 + (A_{*2}\omega_2 + A_2'\Omega_2)\gamma_2 + (A_{*3}\omega_3 + A_3'\Omega_3)\gamma_3 = \text{const} \quad (1.14)$$

Если к тому же тело динамически и геометрически симметрично, т. е. $A_1=A_2$, и форма поверхности оболочки симметрична относительно оси Gx_3 , то проекция угловой скорости тела на ось симметрии постоянна, т. е. имеет место интеграл

$$\omega_3 = \text{const} \quad (1.15)$$

Пусть ось Gx_3 и поверхность тела ортогональны в точке их пересечения при отрицательных x_3 . Существует такое движение системы, в котором ось Gx_3 направлена по вертикали, центр тяжести неподвижен, а твердое тело (оболочка) и жидкость вращаются вокруг оси Gx_3 с постоянной угловой скоростью. Исследуем устойчивость этого движения, считая, что угловые скорости оболочки и квазитвердого движения жидкости одинаковы. Невозмущенному движению соответствует решение уравнений (1.4)–(1.6):

$$\Omega_1 = \Omega_2 = \omega_1 = \omega_2 = 0, \quad \Omega_3 = \omega_3 = \omega = \text{const}, \quad \gamma_1 = \gamma_2 = 0, \quad \gamma_3 = 1 \quad (1.16)$$

Твердое тело считаем динамически и геометрически симметричным с осью симметрии Gx_3 , т. е. $A_1=A_2$, $a_1=a_2$, и уравнение (1.2) поверхности тела в окрестности точки ее пересечения с осью Gx_3 при отрицательных x_3 может быть записано в виде

$$f(x_1, x_2, x_3) = -h - x_3 + (x_1^2 + x_2^2)/2\rho + \dots = 0 \quad (1.17)$$

Многоточие означает совокупность членов выше второго порядка, h — расстояние от центра тяжести до плоскости, а ρ — радиус кривизны поверхности тела в точке его касания с плоскостью в невозмущенном движении.

Из (1.3) и (1.17) с точностью до членов первого порядка включительно относительно x_1, x_2 получаем

$$\gamma_1 = -x_1/\rho, \quad \gamma_2 = -x_2/\rho, \quad \gamma_3 = 1 \quad (1.18)$$

2. Введем возмущения y_j ($j=1, 2, \dots, 9$) по формулам $\Omega_1=y_1$, $\Omega_2=y_2$, $\Omega_3=\omega+y_3$, $\omega_1=y_4$, $\omega_2=y_5$, $\omega_3=\omega+y_6$, $\gamma_1=y_7$, $\gamma_2=y_8$, $\gamma_3=1+y_9$.

Выпишем линеаризованные уравнения возмущенного движения в случае абсолютно гладкой плоскости. Из (1.8), (1.11) и уравнений (1.7) получим, что в первом приближении $N=mg$, а

$$R_1 = mgy_7, \quad R_2 = mgy_8, \quad R_3 = mg(1+y_9) \quad (2.1)$$

Проекции M_i момента реакции плоскости вычисляются по формулам $M_1=(x_2R_3-x_3R_2)$ {1 2 3} и, согласно (1.17), (2.1), в первом приближении будут такими:

$$M_1 = mg(h-\rho)y_8, \quad M_2 = -mg(h-\rho)y_7, \quad M_3 = 0 \quad (2.2)$$

Линеаризованные уравнения (1.4)–(1.6) при $A_1=A_2$, $a_1=a_2$ получим в виде

$$\frac{dy_1}{dt} = \frac{2\omega}{\alpha+1}(y_2-y_5), \quad \frac{dy_2}{dt} = \frac{2\omega}{\alpha+1}(y_4-y_1), \quad \frac{dy_3}{dt} = 0 \quad (2.3)$$

$$\frac{dy_4}{dt} = \frac{\omega\Phi_1}{b_1}y_2 + \omega \frac{b_1-b_3-\Phi_2}{b_1}y_5 + \frac{\mu g(h-\rho)}{b_1}y_8$$

$$\frac{dy_5}{dt} = -\frac{\omega\Phi_1}{b_1}y_1 - \omega \frac{b_1-b_3-\Phi_2}{b_1}y_4 - \frac{\mu g(h-\rho)}{b_1}y_7$$

$$dy_6/dt = 0, \quad dy_7/dt = -y_5 + \omega y_8, \quad dy_8/dt = y_4 - \omega y_7$$

$$dy_9/dt = 0, \quad b_1 = 5A_{*1}/(2m_2a_3^2), \quad b_3 = 5A_{*3}/(2m_2a_3^2)$$

$$\mu = 5(m_1 + m_2) / (2m_2 a_3^2), \quad \alpha = (a_3/a_1)^2$$

$$\varphi_1 = 2(\alpha - 1) / (\alpha + 1)^2, \quad \varphi_2 = (\alpha - 1)^2 / (\alpha(\alpha + 1)^2)$$

Первое шестое и девятое уравнения отделяются. Остающиеся шесть уравнений удобно исследовать введя комплексные переменные по формулам

$$z_1 = y_1 + iy_2, \quad z_2 = y_4 + iy_5, \quad z_3 = y_7 + iy_8 \quad (i^2 = -1) \quad (2.4)$$

Если за независимую переменную принять величину $\tau = i\omega t$, то z_j ($j = 1, 2, 3$) удовлетворяют системе уравнений

$$dz_1/d\tau = 2(-z_1 + z_2) / (\alpha + 1)$$

$$\frac{dz_2}{d\tau} = -\frac{\varphi_1}{b_1} z_1 - \frac{b_1 - b_3 - \varphi_2}{b_1} z_2 - \frac{\mu g(h - \rho)}{b_1 \omega} z_3 \quad (2.5)$$

$$dz_3/d\tau = z_2 / \omega - z_3$$

Характеристический многочлен $F(\lambda)$ этой системы имеет вид

$$F(\lambda) = \lambda^3 + \kappa_1 \lambda^2 + \kappa_2 \lambda + \kappa_3$$

$$\kappa_1 = \frac{2(\alpha + 2)}{\alpha + 1} \frac{b_3}{b_1} \frac{(\alpha - 1)^2}{\alpha(\alpha + 1)^2 b_1} \quad (2.6)$$

$$\kappa_2 = \frac{\alpha + 5}{\alpha + 1} \frac{\alpha + 3}{\alpha + 1} \frac{b_3}{b_1} \frac{(\alpha - 1)(\alpha - 3)}{\alpha(\alpha + 1)^2 b_1} + \frac{\mu g(h - \rho)}{\omega^2 b_1}$$

$$\kappa_3 = \frac{2}{\alpha + 1} \left[1 - \frac{b_3}{b_1} + \frac{\alpha - 1}{\alpha(\alpha + 1) b_1} + \frac{\mu g(h - \rho)}{\omega^2 b_1} \right]$$

Для устойчивости движения (1.16) необходимо, чтобы все три корня многочлена (2.6) были вещественными. Оставляя исключительный случай кратных корней, получаем необходимое условие устойчивости в виде неравенства

$$\kappa_1^2 \kappa_2^2 - 4\kappa_2^3 - 27\kappa_3^2 - 4\kappa_1^3 \kappa_3 + 18\kappa_1 \kappa_2 \kappa_3 > 0 \quad (2.7)$$

Чтобы получить достаточные условия устойчивости, воспользуемся вторым методом Ляпунова. Функцию V построим в виде связки интегралов, указанных в п. 1. Из (1.13) следует, что

$$y_9 = -1/2(y_7^2 + y_8^2) + \dots \quad (2.8)$$

При помощи (1.17), (1.18) и (2.8) из (1.11) получаем

$$\zeta = h^{-1/2}(h - \rho)(y_7^2 + y_8^2) + \dots \quad (2.9)$$

Отсюда и из (2.3) следует, что ζ — величина второго порядка малости. Запишем интеграл (1.10) $V_1 = b_1(y_4^2 + y_5^2) + 2b_3\omega y_6 + b_3 y_6^2 + 2(y_1^2 + y_2^2) / (\alpha + 1) + 2\omega y_3 / \alpha + y_3^2 / \alpha - \mu g(h - \rho)(y_7^2 + y_8^2) + \dots = \text{const}$.

Интеграл (1.14) с учетом (2.8) можно представить в виде

$$V_2 = b_1(y_4 y_7 + y_5 y_8) - 1/2 \omega (b_3 + 1/\alpha)(y_7^2 + y_8^2) + b_3 y_6 + 1/\alpha y_3 + 2(y_1 y_7 + y_2 y_8) / (\alpha + 1) + \dots = \text{const}$$

Интегралы (1.12) и (1.15) для возмущенного движения будут соответственно $V_3 = \alpha(y_1^2 + y_2^2) + 2\omega y_3 + y_3^2 = \text{const}$, $V_4 = y_6 = \text{const}$.

Функцию Ляпунова возьмем в виде линейной связки интегралов V_k :

$$V = V_1 - 2(\sigma + 1)\omega V_2 + \sigma V_3 / \alpha + 2\sigma \omega b_3 V_4 \quad (2.10)$$

где σ — некоторая постоянная. Запишем разложение функции V в ряд

$$V = \left(\sigma + \frac{2}{\alpha + 1} \right) y_1^2 - \frac{4(\sigma + 1)\omega}{\alpha + 1} y_1 y_7 + b_1 y_4^2 - 2(\sigma + 1)\omega b_1 y_4 y_7 +$$

$$\begin{aligned}
& + \left[(\sigma+1)\omega^2 \left(b_3 + \frac{1}{\alpha} \right) - \mu g(h-\rho) \right] y_7^2 + \left(\sigma + \frac{2}{\alpha+1} \right) y_2^2 - \\
& - \frac{4(\sigma+1)\omega}{\alpha+1} y_2 y_8 + b_1 y_5^2 - 2(\sigma+1)\omega b_1 y_5 y_8 + \left[(\sigma+1)\omega^2 \left(b_3 + \frac{1}{\alpha} \right) - \right. \\
& \left. - \mu g(h-\rho) \right] y_8^2 + \frac{\sigma+1}{\alpha} y_3^2 + b_3 y_6^2 + \dots
\end{aligned}$$

Квадратичная часть функции V представляет собой сумму четырех квадратичных форм, каждая из которых зависит от своих переменных: первая — от y_1, y_4, y_7 , вторая — от y_2, y_5, y_8 , третья и четвертая — от y_3 и y_6 соответственно, причем матрицы первых двух квадратичных форм одинаковы.

Используя критерий Сильвестра, получаем, что квадратичная часть функции V (а значит, и сама функция) будет определено-положительной, если выполняется система неравенств (функция $F(\sigma)$ определена формулами (2.6)):

$$F(\sigma) < 0, \quad \sigma > -2/(\alpha+1), \quad \sigma > -1 \quad (2.11)$$

Поиск областей параметров задачи, где выполняются достаточные условия устойчивости движения (1.16), состоит в нахождении тех значений параметров, для которых система неравенств (2.11) совместна хотя бы при каком-либо значении величины σ .

Для дальнейшего анализа отметим, что

$$F(-1) = \frac{\mu g(h-\rho)(1-\alpha)}{\omega^2 b_1(1+\alpha)}, \quad F\left(-\frac{2}{\alpha+1}\right) = \frac{4(\alpha-1)^2}{(\alpha+1)^4 b_1} \quad (2.12)$$

Из (2.11) и (2.12) сразу следует, что при $\alpha < 1, h < \rho$ достаточные условия устойчивости выполнены, так как в этом случае $F(-1) < 0$ и система неравенств (2.11) совместна, если, например, $\sigma = -1 + \varepsilon$ ($0 < \varepsilon < 1$).

Если же $\alpha > 1$ или $\alpha < 1$, но $h \geq \rho$, то оба значения (2.12) функции $F(\sigma)$ положительны и для совместности системы (2.11) надо потребовать, чтобы уравнение $F(\sigma) = 0$ имело три вещественных различных корня, т. е. должно выполняться неравенство (2.7). Таким образом, одно из достаточных условий устойчивости будет и необходимым.

Пусть неравенство (2.7) выполнено, а v — значение σ , соответствующее точке минимума функции $F(\sigma)$ ($v = -\kappa_1/3 + (\kappa_1^2 - 3\kappa_2)^{1/2}/3$). Можно показать, что помимо указанного случая $\alpha < 1, h < \rho$ достаточные условия устойчивости выполнены еще в двух случаях, когда вместе с неравенством (2.7) удовлетворяется система неравенств $\alpha < 1, h \geq \rho, v > -1$ или $\alpha > 1, v > -2/(\alpha+1)$.

Из (2.8) и (2.9) следует, что полученные необходимые и достаточные условия устойчивости относительно возмущений величин Ω_i, ω_i ($i=1, 2$), γ_1, γ_2 являются также условиями устойчивости относительно возмущений величин γ_3, v_i ($i=1, 2, 3$).

Пусть $\alpha=1$, т. е. полость с жидкостью является шаровой. Тогда $F(\sigma) = (\sigma+1)[(\sigma+1)^2 - (b_3/b_1)(\sigma+1) + \mu g(h-\rho)/(\omega^2 b_1)]$.

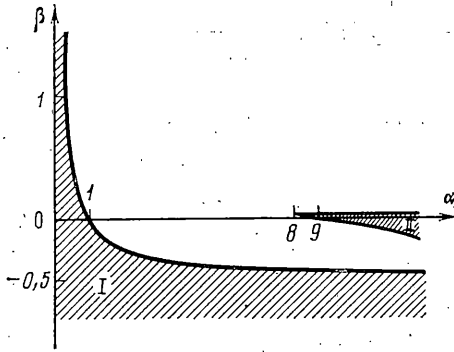
Необходимое условие устойчивости (2.7) приводится к неравенству

$$(b_3 \omega)^2 > 4\mu g b_1 (h-\rho) \quad (2.13)$$

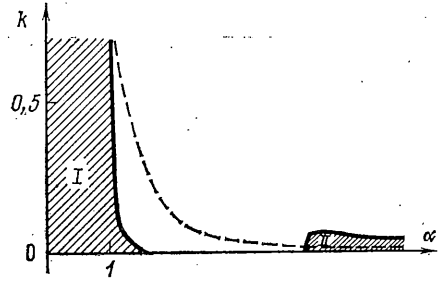
Учитывая, что $b_3/b_1 > 0$, можно показать, что при выполнении неравенства (2.13) существуют значения $\sigma > -1$, при которых $F(\sigma) < 0$, т. е. выполняются и достаточные условия устойчивости. Таким образом, неравенство (2.13), которое в исходных обозначениях записывается в виде

$$(A_3 \omega)^2 > 4mgA_1(h-\rho) \quad (2.14)$$

будет необходимым и достаточным условием устойчивости движения



Фиг. 1



Фиг. 2

(1.16). Условие (2.14) аналогично условию Маиевского совпадает с соответствующим условием, полученным в [5] для симметричного твердого тела без жидкости, так как если полость шаровая, то движение жидкости в полости не влияет на движение твердого тела (оболочки) [2].

Рассмотрим частный случай, когда масса оболочки настолько мала по сравнению с массой жидкости, что можно пренебречь весом оболочки и величинами ее моментов инерции. Тогда

$$b_1 = \frac{(\alpha-1)^2}{2\alpha(\alpha+1)}, \quad b_3 = 0, \quad \mu = \frac{5}{2a_3^2}, \quad \kappa_1 = 2$$

$$\kappa_2 = \frac{\alpha+1}{\alpha-1} + \frac{2\alpha(\alpha+1)}{(\alpha-1)^2} \beta, \quad \kappa_3 = \frac{2}{\alpha+1} \kappa_2 \quad \left(\beta = \frac{5g(h-\rho)}{2\omega^2 a_3^2} \right)$$

Необходимое условие устойчивости (2.7) запишется в виде

$$\left(\beta + \frac{\alpha-1}{2\alpha} \right) \left[\beta^2 + \frac{(\alpha-1)(\alpha^3 - 13\alpha^2 + 34\alpha - 6)}{2\alpha(\alpha+1)^3} \beta + \frac{(\alpha-1)^2(9-\alpha)}{4\alpha^2(\alpha+1)^3} \right] < 0. \quad (2.15)$$

На фиг. 1 в плоскости α, β области, где выполнено неравенство (2.15), обозначены цифрами I и II и заштрихованы. Область I лежит в правой полуплоскости ниже гиперболы $\beta = (1-\alpha)/2\alpha$. Область II задается неравенствами $\beta_2 < \beta < \beta_1$, где $\beta_1 = a+b$, $\beta_2 = a-b$:

$$a = \frac{(1-\alpha)(\alpha^3 - 13\alpha^2 + 34\alpha - 6)}{4\alpha(\alpha+1)^3}, \quad b = \frac{(\alpha-1)^2 \sqrt{\alpha(\alpha-8)^3}}{4\alpha(\alpha+1)^3}$$

Область II расположена справа от своей граничной точки (8; 0,0162). Ее верхняя граница расположена выше оси $\beta=0$ и асимптотически приближается к ней при $\alpha \rightarrow \infty$. Нижняя граница области II пересекает ось $\beta=0$ при $\alpha=9$; при $\alpha > 9$ расположена ниже этой оси и при $\alpha \rightarrow \infty$ асимптотически приближается, как и граница области I, к горизонтальной прямой $\beta = -1/2$. При этом границы областей I и II не пересекаются ни при каких значениях α .

Использование результатов приведенного анализа системы неравенств (2.11) показало, что всюду в области I необходимые и достаточные условия устойчивости совпадают, а в области II выполняются только необходимые условия.

Отметим, что если центр тяжести совпадает с центром кривизны поверхности тела в точке ее касания с плоскостью, то $h=\rho$, $\beta=0$ и условия устойчивости выполнены, если $\alpha < 1$ или $\alpha > 9$. Это совпадает с результатами, установленными экспериментально Кельвином [6] и другими исследователями, и доказано теоретически в работах [7, 8].

3. Исследуем устойчивость в первом приближении движения (1.16) в

случае абсолютно шероховатой плоскости. Из условий (1.9) отсутствия скольжения и уравнений (1.7) находим

$$R_1 = mg\gamma_1 - m[(\omega_2 \dot{x}_3 - \omega_3 \dot{x}_2) + (\omega_2 \dot{x}_3 - \omega_3 \dot{x}_2)] - \\ - m[\omega_2(\omega_1 x_2 - \omega_2 x_1) + \omega_3(\omega_1 x_3 - \omega_3 x_1)] \quad \{1 \ 2 \ 3\}$$

В первом приближении имеем выражения для величин M_i ($i=1, 2, 3$):

$$M_1 = m[g(h-\rho)y_3 + \omega h(h-\rho)y_5 - h^2 y_4] \\ M_2 = -m[g(h-\rho)y_7 + \omega h(h-\rho)y_4 + h^2 y_5], \quad M_3 = 0 \quad (3.1)$$

Линеаризованные уравнения возмущенного движения будут иметь вид (2.3), только в правых частях четвертого и пятого уравнений последние слагаемые должны быть заменены соответственно на M_1 и M_2 из (3.1). Отбросим в (2.3) уравнения, отвечающие нулевым корням характеристического уравнения, и запишем оставшиеся шесть уравнений в комплексных переменных (2.4), приняв за независимую переменную величину $\tau = i\omega t$.

Получившаяся система трех дифференциальных уравнений имеет характеристический многочлен $F(\lambda)$, определяемый по формуле (2.6), в которой надо величину b_1 в коэффициентах κ_i заменить на $b_1 + \mu h^2$, а величину b_3 — на $b_3 + \mu h\rho$. Условие устойчивости в первом приближении запишется в виде неравенства (2.7).

Рассмотрим частный случай шаровой полости ($\alpha=1$), когда движение жидкости не влияет на движение оболочки, в которой она заключена. Условие устойчивости приводится к неравенству (2.13), которое в исходных обозначениях запишется в виде $(A_3 + mh\rho)^2 \omega^2 > 4(A_1 + mh^2)mg(h-\rho)$. В [5, 9] показано, что это условие устойчивости для твердого тела без жидкости будет необходимым и достаточным.

Пусть оболочка настолько тонка, что ее толщиной, массой и моментами инерции можно пренебречь. Тогда, положив в коэффициентах характеристического многочлена

$$h = a_3, \quad \rho = \frac{a_1^2}{a_3}, \quad \mu = \frac{5}{2a_3^2}, \quad b_1 = \frac{6\alpha^2 + 3\alpha + 1}{2\alpha(\alpha + 1)}, \quad b_3 = \frac{5}{2\alpha}$$

будем иметь

$$\kappa_1 = \frac{12\alpha^2 + 11\alpha - 3}{6\alpha^2 + 3\alpha + 1}, \quad \kappa_2 = \frac{2(3\alpha^2 + 10\alpha - 8) + 5(\alpha^2 - 1)k}{6\alpha^2 + 3\alpha + 1} \\ \kappa_3 = 2(\alpha - 1)(5k + 6)/(6\alpha^2 + 3\alpha + 1), \quad k = g/(\omega^2 a_3)$$

На фиг. 2 в плоскости параметров α, k области устойчивости заштрихованы и обозначены цифрами I и II. Правая граничная кривая области I начинается в точке (1,521; 0) и имеет вертикальную асимптоту $\alpha=1$. Область II лежит справа от прямой $\alpha=4,201$. Ее верхняя граничная кривая имеет точку максимума (4,6; 0,047), при $\alpha \rightarrow \infty$ она асимптотически приближается к оси $k=0$.

4. Сравним полученные в пп. 2, 3 условия устойчивости вращения твердого тела с полостью, заполненной жидкостью, совершающей однородное вихревое движение, с условиями устойчивости вращения тела с той же полостью, но при потенциальном движении жидкости. В последнем случае движение тела (оболочки) происходит так же, как движение некоторого твердого тела, преобразованного из исходного присоединением к нему эквивалентного тела, полностью заменяющего влияние на тело (оболочку) движения жидкости в полости [1, 2]. Поэтому необходимое и достаточное условие устойчивости в случае абсолютно гладкой плоскости записывается в виде неравенства [5]:

$$(A_{*3}\omega)^2 > 4mgA_{*1}(h-\rho) \quad (4.1)$$

а в случае абсолютно шероховатой — в виде неравенства [5, 9]:

$$(A_{*3} + m\rho h)^2 \omega^2 > 4(A_{*1} + mh^2) mg(h - \rho) \quad (4.2)$$

где ω — угловая скорость оболочки.

Для невесомой оболочки $A_{*3} = 0$, $A_{*1} = A_1^* > 0$ условие (4.1) сводится к неравенству $h < \rho$, т. е. в случае абсолютно гладкой плоскости для устойчивости необходимо и достаточно, чтобы центр тяжести жидкости лежал ниже центра кривизны поверхности оболочки в точке ее контакта с плоскостью.

Неравенство (4.2) для тонкой невесомой эллипсоидальной оболочки выполняется, если либо $\alpha \leq 1$, либо $\alpha > 1$ и $k < \psi(\alpha)$, где $\psi(\alpha) = 5(\alpha + 1) / [4(\alpha - 1)(6\alpha^2 + 3\alpha + 1)]$. Кривая $k = \psi(\alpha)$ изображена на фиг. 2 пунктиром.

Таким образом, как для абсолютно гладкой, так и для абсолютно шероховатой плоскости наличие завихренности в движении жидкости в зависимости от величин ω и α может оказывать как стабилизирующее, так и дестабилизирующее влияние на вращение оболочки.

ЛИТЕРАТУРА

1. Жуковский Н. Е. О движении твердого тела, имеющего полости, наполненные однородною капельною жидкостью. — В кн.: Собр. соч. Т. 2. М.—Л.: Гостехиздат, 1949, с. 152—309.
2. Моисеев Н. Н., Румянцев В. В. Динамика тела с полостями, содержащими жидкость. М.: Наука, 1965. 439 с.
3. Черноузько Ф. Л. Движение твердого тела с полостями, содержащими вязкую жидкость. М.: ВЦ АН СССР, 1968. 230 с.
4. Савченко А. Я. Устойчивость стационарных движений механических систем. Киев: Наук. думка, 1977. 160 с.
5. Румянцев В. В. Об устойчивости движения гироскопов некоторого вида. — ПММ, 1961, т. 25, вып. 4, с. 778—784.
6. Thomson W. On the precessional motion of liquid (liquid girostats). — Math. and Phys. Papers, Cambridge, 1910, v. 4, p. 193—201.
7. Hough S. S. The Oscillations of a Rotating Ellipsoidal Shell Containing Fluid. — Phil. Trans. Roy. Soc. London. Ser. A, 1895, v. 186, pt 1, p. 469—506.
8. Жак С. В. Об устойчивости некоторых частных случаев движения симметричного гироскопа, содержащего жидкие массы. — ПММ, 1958, т. 22, вып. 2, с. 245—249.
9. Дувакин А. П. Об устойчивости движения волчка по абсолютно шероховатой горизонтальной плоскости. — Инж. ж., 1962, т. 2, вып. 2, с. 222—230.

Москва

Поступила в редакцию
5.VIII.1983